

# Теория туннельного токопереноса в контактах металл—полупроводник с приповерхностным изотипным $\delta$ -легированием

© В.И. Шашкин<sup>¶</sup>, А.В. Мурель

Институт физики микроструктур Российской академии наук,  
603950 Нижний Новгород, Россия

(Получена 21 октября 2003 г. Принята к печати 11 ноября 2003 г.)

Построена теория туннельного токопереноса в контактах металл—полупроводник с приповерхностным изотипным  $\delta$ -легированием. На основе подхода Мерфи и Гуда, с учетом снижения высоты потенциального барьера за счет сил изображения, получены аналитические выражения для тока. Проведен расчет характеристик  $\delta$ -легирования, обеспечивающего эффективную термополевую эмиссию в контакте металл—полупроводник и уменьшение эффективной высоты барьера от исходных значений до единиц  $kT$ . Установлено, что зависимость тока от напряжения в контакте с изотипным  $\delta$ -легированием носит в основном экспоненциальный характер. Показано, что для всех значений высоты барьера возможно сохранение малого фактора неидеальности  $n \leq 1.07$ . Резкое его возрастание до  $n \geq 1.5$  характерно для контактов с не полностью обедненным  $\delta$ -слоем.

## 1. Введение

Характер протекания тока в контактах металл—полупроводник (МП) зависит от уровня легирования приповерхностной области полупроводника. Известно, что при повышении уровня легирования важную роль начинают играть туннельные процессы термополевой и полевой эмиссии [1,2]. Теоретическое описание токопереноса в подобных контактах опирается на результаты работы [3]. Наиболее значимые теоретические работы, посвященные этому вопросу, выполнены более четверти века назад, их обзор можно найти в [1,4]. Общим для всех теоретических моделей контактов являлось предположение об однородном легировании полупроводника в приповерхностной области. Несколько позже, с развитием эпитаксиальных технологий роста, появились контакты МП с приповерхностным изотипным  $\delta$ -легированием, где именно туннельные процессы приводят к снижению эффективной высоты барьера и возникновению омического несплавленного контакта МП в предельном случае очень сильного  $\delta$ -легирования [5–7]. На основе приближенных формул для туннельного тока были сделаны оценки удельного сопротивления для омических контактов [5], проведены численные квантово-механические расчеты транспортных процессов в контактах с пониженной эффективной высотой барьера и получено хорошее согласие с данными экспериментов [8].

В данной работе впервые получены и детально проанализированы выражения для вольт-амперных характеристик (ВАХ) контактов МП с приповерхностным  $\delta$ -легированием, когда эффекты термополевой эмиссии играют определяющую роль. Расчеты проводятся с учетом сил изображения, нет ограничений на температуру и характеристики  $\delta$ -легирования, такие как величина поверхностной концентрации  $N_s$  и расстояние  $d$  от  $\delta$ -слоя до границы с металлом. Туннельная прозрач-

ность барьера определяется на основе метода Миллера и Гуда [9], который обеспечивает хорошую точность в теории электронной эмиссии из металлов в вакуум, диэлектрики и полупроводники [10,11]. В результате расчетов определяется эффективная высота барьера и фактор неидеальности ВАХ контакта МП, проводится сопоставление с результатами, полученными в случае сильного однородного легирования полупроводника [1–4]. Полученные аналитические выражения позволяют оптимизировать параметры ВАХ, что необходимо в различных приложениях, например при разработке детекторных диодов с пониженной эффективной высотой барьера [12,13].

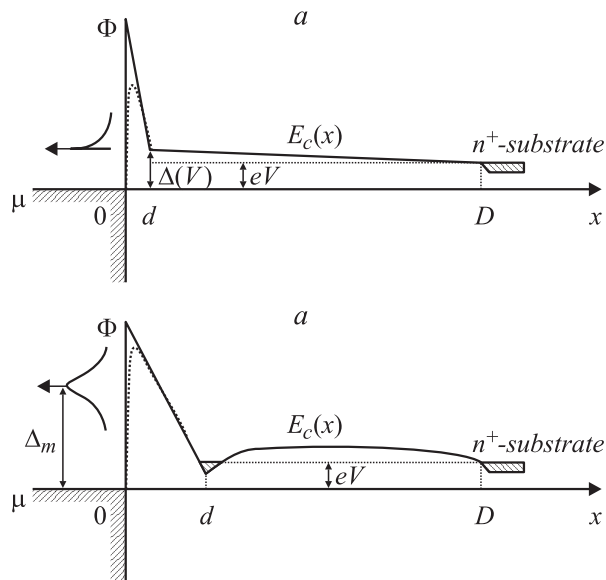
## 2. Модель потенциального рельефа — барьер Мотта с $\delta$ -легированием

Для определенности задача формулируется для электронов. На рис. 1 показаны профили дна зоны проводимости  $E_c$  вдоль координаты  $x$  в слоистой структуре металл—(эпитаксиальный слой)—(сильно легированная  $n^+$ -подложка) при некотором положительном смещении  $V$ . Все границы слоев считаются плоскими и параллельными. Ход  $E_c$  вблизи границы с металлом при учете сил зеркального изображения записывается обычным образом [1–4]:

$$E_c(x) = \mu + \Phi \frac{e^2}{4\epsilon x} - eFx, \quad x < d, \quad (1)$$

где  $\mu$  — уровень Ферми в металле,  $\Phi$  — высота барьера со стороны металла,  $e$  — величина заряда электрона,  $\epsilon$  — относительная диэлектрическая проницаемость полупроводника,  $F$  — напряженность электрического поля. В плоскости  $x = d$  располагается  $\delta$ -слой атомов донорной примеси с поверхностной концентрацией  $N_s$ . Уширение  $\delta x$  в распределении примеси вдоль  $x$  не

<sup>¶</sup> E-mail: sha@ipm.sci-nnov.ru



**Рис. 1.** Профиль дна зоны проводимости  $E_c(x)$  в структуре металл–полупроводник с  $\delta$ -легированием в плоскости  $x = d$  при полном (а) и частичном (б) обеднении. Приложено напряжение  $V$  в прямом направлении. Пунктирная линия — снижение потенциального барьера за счет сил изображения. Стрелками слева показаны туннелирующие электроны и рядом — условное распределение их по энергиям.

учитывается, считается, что  $\delta x \ll d$ . Следующим предположением является то, что эпитаксиальный слой тонкий и имеет малое объемное легирование, так что экранирование электрического поля обусловлено только наличием  $\delta$ -слоя. В дальнейшем основное внимание уделяется контакту МП с полным обеднением  $\delta$ -слоя и всего эпитаксиального слоя до границы  $x = D$  с  $n^+$ -подложкой (рис. 1, а). Такой контакт, согласно [2], является барьером Мотта. В нем внешнее приложенное напряжение  $V$  создает дополнительное однородное электрическое поле, равное  $V/D$ , которое аддитивно складывается с встроенным полем зарядов при  $V = 0$ . Пренебрежение объемным зарядом, как это будет видно из дальнейшего рассмотрения, не является принципиальным для расчетов. Такое предположение позволяет лишь упростить расчет потенциала в контакте и выявить тем самым характерные зависимости туннельного тока. С учетом сделанных предположений легко рассчитать потенциальный рельеф контакта при различных уровнях  $\delta$ -легирования и приложенных постоянных смещениях (рис. 1). В частности, можно определить положение дна зоны проводимости  $\Delta$  в плоскости  $\delta$ -слоя как функцию приложенного напряжения  $V$ :

$$\Delta(V) \equiv E_c(d) = \left( \Phi - \frac{4\pi e^2 N_s d}{\varepsilon} \right) \left( 1 - \frac{d}{D} \right) + \frac{d}{D} eV. \quad (2)$$

Легко сформулировать условие полного обеднения  $\delta$ -слоя:

$$\frac{4\pi e^2 N_s d}{\varepsilon} \leq \Phi - eV. \quad (3)$$

При высоком уровне легирования  $N_s$  или при больших прямых смещениях  $\delta$ -слой не обедняется полностью и соотношение (2) не выполняется. В этом случае ход потенциала с характерной потенциальной ямой, заполненной электронами, иллюстрирует рис. 1, б.

### 3. Выражения для коэффициента туннельного прохождения и плотности тока

Треугольный барьер на вершине потенциального рельефа, приведенного на рис. 1, при малых  $d$  может быть туннельно прозрачным. В работе [8] были проведены численные расчеты и измерения ВАХ подобных контактов. При аналитическом рассмотрении задачи токопереноса для вычисления коэффициента туннельного прохождения через барьер (1) при учете сил изображения воспользуемся подходом, развитым в [10]. Пренебрегая эффектами непараболичности и несферичности полупроводникового зонного спектра и понимая под  $E_x$  энергию, связанную с движением электронов вдоль  $x$ , можно записать следующее выражение для плотности тока  $j(V)$  в контакте МП:

$$j(V) = \frac{A^* T}{k} \int_{\mu + \Delta(V)}^{\infty} \exp[-Q(E_x)] \times \ln \left\{ \frac{\exp(eV/kT) + \exp[(E_x - \mu)/kT]}{1 + \exp[(E_x - \mu)/kT]} \right\} dE_x, \quad (4)$$

где

$$Q(E_x) = \frac{4\sqrt{2}}{3} \frac{\sqrt{m}}{e\hbar F} (\mu + \Phi - E_x)^{3/2} v(y), \quad (5)$$

$$y \equiv \frac{1}{\sqrt{\varepsilon}} \frac{\sqrt{e^3 F}}{|\mu + \Phi - E_x|}, \quad (6)$$

$v(y)$  — функция Нордгейма, протабулированная в [14],  $m$  — эффективная масса электрона,  $k$  — постоянная Больцмана,  $A^* = 4\pi e m k^2 / (2\pi\hbar)^3$  — постоянная Ричардсона. При записи выражения (4) предполагалось, что  $Q(E_x) \gg 1$  и прозрачность туннельного барьера обращается в нуль при  $E_x < \mu + \Delta(V)$ . Отличие от классических результатов по электронной эмиссии из металлов в вакуум [10,14] состоит в появлении в выражении (6) для  $y$  множителя, содержащего  $\varepsilon$ . Следствием этого является относительное уменьшение роли сил изображения. Следует заметить, что коэффициент туннельного прохождения и функция распределения электронов по энергиям могут меняться в очень широких пределах, но их величина ограничена сверху. Поэтому подынтегральное выражение обязательно имеет максимум при некоторой энергии  $\Delta_m$ , которую будем отсчитывать от уровня Ферми в металле (см. рис. 1). В зависимости от параметров туннельного барьера и температуры максимум может находиться вне или внутри пределов интегрирования.

При условии, что величина  $[\max(\Delta, \Delta_m) - eV]$  в несколько раз превосходит тепловую энергию  $T$ , в интеграле (4) можно избавиться от логарифма:

$$j(V) = \frac{A^*T}{k} \left[ \exp\left(\frac{eV}{kT}\right) - 1 \right] \times \int_{\mu+\Delta(V)}^{\infty} \exp\left[-Q(E_x) - \frac{E_x - \mu}{kT}\right] dE_x. \quad (7)$$

В работе [10] предложен приближенный способ вычисления этих интегралов, основанный на разложении  $Q(E_x)$  в степенной ряд вблизи произвольной энергии  $\Delta_0$ . С точностью до 2-го порядка по степеням энергии  $E_x$

$$Q(E_x) \approx b - c(E_x - \mu - \Delta_0) + f(E_x - \mu - \Delta_0)^2. \quad (8)$$

Коэффициенты в (8) совпадают с вычисленными ранее [10,11,14]:

$$b = \frac{4\sqrt{2}}{3} \frac{d\sqrt{m}}{\hbar(\Phi - \Delta)} (\Phi - \Delta_0)^{3/2} \cdot v(y_0), \quad (9)$$

$$c = \frac{2d\sqrt{2m}}{\hbar(\Phi - \Delta)} (\Phi - \Delta_0)^{1/2} \cdot t(y_0), \quad (10)$$

$$f = \frac{d\sqrt{2m}}{2\hbar(\Phi - \Delta)} (\Phi - \Delta_0)^{-1/2} \frac{v(y_0)}{1 - y_0^2}, \quad (11)$$

$$y_0 = \frac{e}{\sqrt{\varepsilon d}} \frac{(\Phi - \Delta)^{1/2}}{\Phi - \Delta_0}. \quad (12)$$

Здесь введена функция  $t(y) \equiv v(y) - (2/3)y \cdot v'(y)$ , величина которой относительно слабо изменяется вблизи единицы [10,14]. Приведенные соотношения позволяют получить аналитические выражения для тока, которые различаются в зависимости от туннельной прозрачности барьера (или от температуры).

Можно провести разложение  $Q(E_x)$  вблизи максимума подынтегрального выражения (7) при  $\Delta_0 = \Delta_m$ . Положение максимума определяется из условия обращения в нуль коэффициента перед линейным членом по энергии в экспоненте в (7), т.е. при условии  $c_m \equiv c(\Delta_m) = 1/kT$ , или

$$c_m \equiv \frac{2d\sqrt{2m}}{\hbar(\Phi - \Delta)} (\Phi - \Delta_m)^{1/2} \cdot t(y_m) = \frac{1}{kT}, \quad (13)$$

$$y_m = \frac{e}{\sqrt{\varepsilon d}} \frac{(\Phi - \Delta)^{1/2}}{\Phi - \Delta_m}. \quad (14)$$

Поскольку зависимость  $t(y)$  слабая, величину  $\Delta_m$  можно определить с достаточной точностью путем нескольких итераций из уравнений

$$\Delta_m = \Phi - \frac{(\Phi - \Delta)^2 \hbar^2}{8(kT)^2 m d^2 \cdot t^2(y_m)}, \quad (15)$$

и (14), полагая на первом шаге  $t(y_m) = 1$ .

## 4. Тонкие туннельные барьеры (низкие температуры)

Будем считать туннельный барьер тонким, если  $\Delta_m < \Delta$ . Следует заметить, что такая характеристика туннельного барьера оправдана при некоторой фиксированной температуре, поскольку сама величина  $\Delta_m$  является функцией  $T$ . В ряде случаев удобнее накладывать ограничение на температуру. Полагая  $t(y_m) = 1$ , находим из (15) следующие неравенства для  $d$  или  $T$ :

$$d < \frac{\hbar}{2kT} \sqrt{\frac{\Phi - \Delta}{2m}}, \quad (16a)$$

$$T < \frac{\hbar}{2kd} \sqrt{\frac{\Phi - \Delta}{2m}}, \quad (16b)$$

откуда при  $\Phi - \Delta = 0.5 \text{ эВ}$ ,  $m = 0.067m_0$  (в случае арсенида галлия) получаем  $d < 10 \text{ нм}$  при  $T = 300 \text{ К}$  или  $T < 300 \text{ К}$  при  $d = 10 \text{ нм}$ .

Для нахождения тока в случае тонкого туннельного барьера, т.е. при  $\Delta_m < \Delta$ , разложим  $Q(E_x)$  вблизи  $\Delta_0 = \Delta$  и из (7) получим следующее выражение:

$$j(V) = \frac{A^*T}{2k} \sqrt{\frac{\pi}{f_\Delta}} \exp\left[-b_\Delta - \frac{\Delta}{kT} + \frac{(1 - kTc_\Delta)^2}{4(kT)^2 f_\Delta}\right] \times \left[ \exp\left(\frac{eV}{kT}\right) - 1 \right] \left[ 1 - \operatorname{erf}\left(\frac{1 - kTc_\Delta}{2kT\sqrt{f_\Delta}}\right) \right], \quad (17)$$

где  $\operatorname{erf}(z) \equiv (2/\sqrt{\pi}) \int_0^z \exp(-t^2) dt$  обозначает интеграл вероятности [15], а коэффициенты  $b_\Delta$ ,  $c_\Delta$ ,  $f_\Delta$  и  $y_\Delta$  получаются по формулам (9)–(12) с заменой  $\Delta_0$  на  $\Delta$ .

При условии высокой туннельной прозрачности барьера, когда выполняется соотношение  $1 - kTc_\Delta \gg \gg kT\sqrt{2f_\Delta}$ , выражение для плотности тока можно существенно упростить, воспользовавшись асимптотическим представлением интеграла вероятности:

$$j(V) = A^*T^2 \frac{\exp(-b_\Delta)}{1 - kTc_\Delta} \exp\left(-\frac{\Delta}{kT}\right) \left[ \exp\left(\frac{eV}{kT}\right) - 1 \right]. \quad (18)$$

Это достаточно простое выражение было выведено ранее [12] для диодов Шоттки с приповерхностным  $\delta$ -легированием. Действительно, если учитывать только два слагаемых в разложении (8), интеграл (4) сводится к табличному [15]:

$$j(V) = A^*T^2 \exp(-b_\Delta) \times \sum_{m=0}^{\infty} \frac{(-1)^m \exp[-(m+1)\Delta/kT] \exp[(m+1)eV/kT - 1]}{(m+1)(m+1 - kTc_\Delta)}. \quad (19)$$

При  $\Delta > 2kT$  ряд с хорошей точностью представляется первым слагаемым — выражением (18). Из него, в частности, следует, что ток определяется процессами термоэмиссии через барьер высотой  $\Delta$  и зависимость

прямого тока от напряжения близка к экспоненте с аргументом  $eV/nkT$ . Фактор неидеальности  $n$  незначительно превышает 1 из-за слабой, в меру малости отношения  $d/D$ , зависимости  $\Delta$  от  $V$ , определяемой (2). Вторая причина состоит в том, что при условии (16) сама величина  $b_\Delta$  слабо зависит от  $\Delta$ . Основной вывод, который следует из формулы (18), состоит в том, что при сильном  $\delta$ -легировании полупроводника в нескольких нанометрах от границы с металлом возможно снижение эффективной высоты барьера Шоттки до нескольких  $kT$  при сохранении экспоненциальной вольт-амперной характеристики с фактором неидеальности  $n \approx 1$ . Отличие от обычных формул для тока в барьерах Шоттки состоит в появлении дополнительного множителя, что эквивалентно сильному уменьшению постоянной Ричардсона при слабой зависимости этой величины от температуры и напряжения смещения.

При возрастании  $d$  и меньшей туннельной прозрачности барьера, когда выполняется условие  $1 - c_\Delta kT \ll \ll \pi kT \sqrt{f_\Delta}$ , выражение (17) также можно упростить:

$$j(V) = \frac{A^*T}{2k} \sqrt{\frac{\pi}{f_\Delta}} \exp\left(-b_\Delta - \frac{\Delta}{kT}\right) \left[\exp\left(\frac{eV}{kT}\right) - 1\right]. \quad (20)$$

Этот случай соответствует приближению  $\Delta_m$  к нижнему пределу интегрирования  $\Delta$ . Видно, что экспоненциальные характеристики тока изменяются по сравнению с (18). Однако в предэкспоненциальном множителе характер зависимости от температуры изменяется на линейный, что характерно для контактов металл–полупроводник, где туннельные процессы становятся существенными [1–4].

## 5. Широкие туннельные барьеры (высокие температуры)

При нарушении условия (16) максимум распределения туннелирующих электронов по энергии поднимается выше нижнего предела интегрирования  $\Delta$ , как это показано на рис. 1, *b*. В этом случае, как в работе [10], разложим  $Q(E_x)$  вблизи энергии  $\Delta_0 = \Delta_m$ . Положение  $\Delta_m$  отвечает условию (13). Величина  $\Delta_m$  определяется из совместного решения уравнений (14) и (15). Интеграл для плотности тока (7) сводится к следующему выражению:

$$j(V) = \frac{A^*T}{2k} \sqrt{\frac{\pi}{f_m}} \exp\left(-b_m - \frac{\Delta_m}{kT}\right) \left[\exp\left(\frac{eV}{kT}\right) - 1\right] \times \left\{1 + \operatorname{erf}\left[\sqrt{f_m}(\Delta_m - \Delta)\right]\right\}. \quad (21)$$

Сохраняя некоторое формальное сходство с (17), формула (21) имеет существенные отличия. Эффективной высотой термоэмиссионного барьера вместо  $\Delta$  становится  $\Delta_m$ , и все коэффициенты разложения получают индекс  $m$ , который подчеркивает, что  $b_m$ ,  $c_m$ ,  $f_m$  определяются соотношениями (9)–(12) при  $\Delta_0 = \Delta_m$ . В случае

$\Delta_m = \Delta$  из (21) получается найденное ранее решение (20). При  $\Phi - \Delta_m \gg kT$  можно оценить величины  $b_m$  и  $f_m$ . При  $T = 300$  К,  $\Phi - \Delta = 0.5$  эВ и  $\Phi - \Delta_m = 0.4$  эВ получаем  $b_m \approx 10$  и  $\sqrt{f_m} \approx 5$  эВ<sup>-1</sup>. Для широких туннельных барьеров при  $2\sqrt{f_m}(\Delta_m - \Delta) \geq \sqrt{\pi}$  функцию вероятности в (21) можно положить равной 1, что дает небольшое возрастание абсолютной величины тока и практически не влияет на вид ВАХ, которая после ряда преобразований приводится к следующему виду:

$$j(V) \approx j_0 \exp\left[-\frac{\Phi}{kT} + \frac{3t(y_m) - 2v(y_m)}{24t^3(y_m)} \frac{(\Phi - \Delta)^2 \hbar^2}{(kT)^3 d^2 m}\right] \times \left[\exp\left(\frac{eV}{kT}\right) - 1\right], \quad (22)$$

$$j_0 = A^*k^{-3/2} \sqrt{T} \sqrt{\frac{\pi(1 - y_m^2)}{2v(y_m) \cdot t(y_m)}} \frac{(\Phi - \Delta)\hbar}{d\sqrt{m}}. \quad (23)$$

Анализ экспонент в (22) показывает, что фактор неидеальности  $n$  может существенно превосходить 1 и температурная зависимость тока может быть сильно возмущена из-за наличия слагаемого  $\propto T^{-3}$  в экспоненте. Из приведенных выражений видно, что при увеличении  $d$  или  $T$  эффективная высота барьера стремится к  $\Phi$ , чего и следовало ожидать из-за возрастающего вклада термоэмиссионной компоненты тока. Тем не менее при приближении  $\Delta_m$  к  $\Phi$  точность расчетов на основе выражений (22), (23) падает, что связано с выбранной аппроксимацией туннельной прозрачности (8), которая становится неудачной вблизи вершины барьера. По этой причине не получается предельный переход в (23) к классическому термоэмиссионному предэкспоненциальному выражению. Для более точного представления тока в этой области параметров можно разбить интервал интегрирования по энергии в (4) на два [10,16], положив для термоэмиссионной компоненты тока туннельную прозрачность над вершиной барьера равной единице.

Следует заметить, что при  $\Delta_m - eV \gg kT$  требование полного обеднения  $\delta$ -слоя не обязательно и можно приближенно рассчитать ВАХ. Если максимум туннелирующих электронов через треугольный барьер находится высоко по энергии, как это показано на рис. 1, *b*, то вид туннельного барьера у его основания и энергетический спектр электронов в потенциальной яме  $\delta$ -слоя становятся несущественными. При неполном обеднении  $\delta$ -слоя, что отвечает  $\Delta(V) < eV$  в выражении (2), происходит перераспределение электрического поля в контакте МП. При условии, что характерный масштаб локализации электронов в потенциальной яме  $\delta$ -слоя много меньше  $d$ , пренебрегая различием между энергиями Ферми и  $E_c(d)$ , можно считать, что все приложенное напряжение падает в интервале от 0 до  $d$ . Легко оценить электрическое поле  $F \approx (\Phi - eV)/ed$ . Для определения величины тока можно использовать выражения (22), (23), положив в них  $\Delta \equiv eV$ . По существу этот результат соответствует ВАХ контакта металл–(нелегированный полупроводник

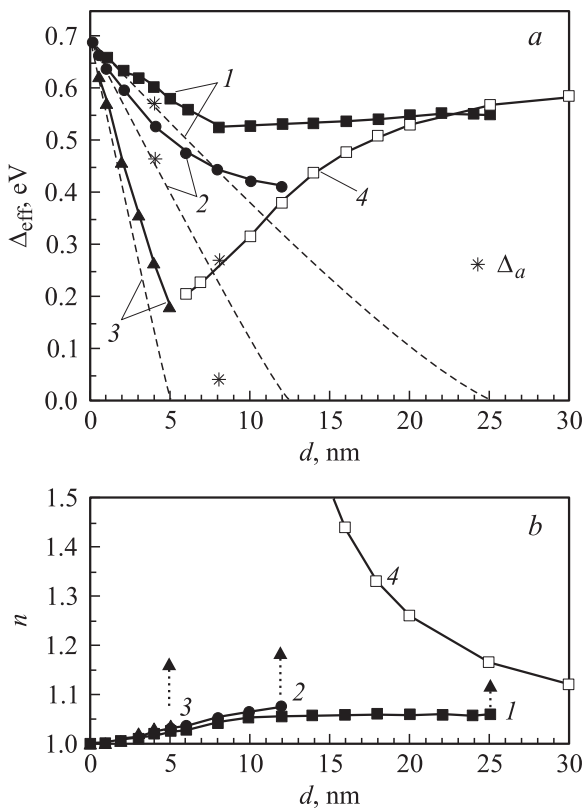
толщиной  $d$ ) – (вырожденный полупроводник), если пренебречь длиной экранирования поля в вырожденном полупроводнике в сравнении с  $d$ . Этот случай характеризуется ростом  $n$  и еще большими отклонениями температурных зависимостей от термоэмиссионных.

## 6. Обсуждение результатов

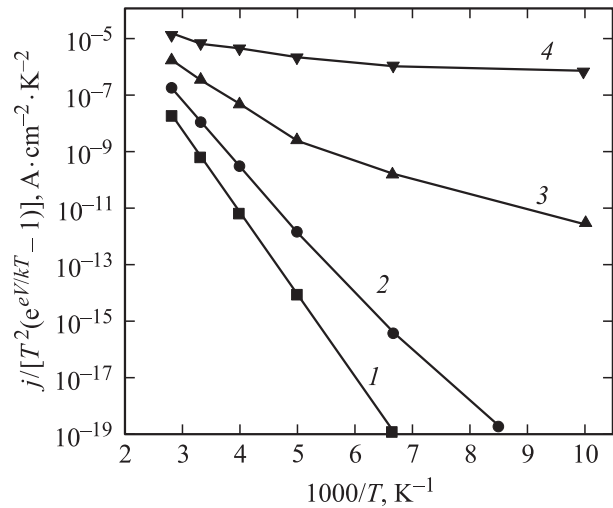
Полученные выше выражения позволяют проиллюстрировать вольт-амперные характеристики контактов металл–полупроводник с приповерхностным  $\delta$ -легированием. Для этого аппроксимируем ток, рассчитанный по приведенным выше формулам при некоторой фиксированной температуре, выражением для термоэмиссионного тока через эффективный барьер  $\Delta_{\text{eff}}$ :

$$j(V) = A^* T^2 \exp\left(-\frac{\Delta_{\text{eff}}}{kT}\right) \left[\exp\left(\frac{eV}{nkT}\right) - 1\right]. \quad (24)$$

Это выражение не учитывает модификации постоянной Ричардсона, но позволяет оценить величины „кажущейся“, эффективной высоты барьера  $\Delta_{\text{eff}}$  и фактора



**Рис. 2.** Зависимости эффективной высоты барьера  $\Delta_{\text{eff}}$  (а) и фактора неидеальности  $n$  (б) от расстояния  $d$  для контакта Al с  $n$ -GaAs при  $T = 300$  К и разных уровнях поверхностного  $\delta$ -легирования  $N_s$ ,  $10^{12}$  см $^{-2}$ : 1 – 2, 2 – 4, 3 – 10. а: штриховыми линиями показаны зависимости  $\Delta_a$  от  $d$  при соответствующих значениях  $N_s$ , нанесены значения  $\Delta_a$ . 4 – расчет для необязательных  $\delta$ -слоев. Стрелками (б) показан скачок  $n$  при заполнении  $\delta$ -слоя электронами.



**Рис. 3.** Температурные зависимости тока в тонких туннельных контактах МП при четырех вариантах  $\delta$ -легирования: 1, 2 –  $d = 4$  нм,  $N_s = 2 \cdot 10^{12}$  (1) и  $4 \cdot 10^{12}$  см $^{-2}$  (2); 3, 4 –  $d = 8$  нм,  $N_s = 4 \cdot 10^{12}$  (3) и  $8 \cdot 10^{12}$  см $^{-2}$  (4).

неидеальности  $n$ . На рис. 2 показана зависимость этих параметров от расстояния  $d$  для контакта Al с  $n$ -GaAs при  $T = 300$  К при разных величинах поверхностного легирования  $N_s$ . В области параметров, отвечающей необходимым  $\delta$ -слоям, все зависимости  $\Delta_{\text{eff}}$  и  $n$  от  $d$  при различных  $N_s$  одинаковы (рис. 2, кривые 4). Видно, что при малых и больших значениях  $d$  эффективная высота барьера возрастает и при этом величина фактора неидеальности  $n \approx 1$ . Минимальные значения эффективных высот барьеров достигаются при значениях  $d = 5$ –10 нм. Заметный скачок в  $n$  происходит при заполнении  $\delta$ -слоя электронами. Штриховыми линиями показаны значения  $\Delta_a$ , определенные по формуле (2) при  $V = 0$ . Введение с помощью (24) параметров  $\Delta_{\text{eff}}$  и  $n$  позволяет провести сопоставление результатов с данными экспериментов и численными расчетами [8] и убедиться в хорошем их согласии.

Для лучшего представления температурных зависимостей тока и более детальной диагностики токопередачи в контактах МП на рис. 3 построены зависимости  $\ln\{j/[T^2(\exp(eV/kT) - 1)]\}$  от  $1/T$ . Выбранные параметры соответствуют тонким туннельным контактам с сильно различающимися высотами барьеров. Кривые 1, 2, 3 в области высоких температур хорошо аппроксимируются прямой линией, что позволяет известным способом [1,2] определить энергию активации  $\Delta_a$  и величину эффективной постоянной Ричардсона  $A^{**}$ : 1 –  $\Delta_a = 0.58$  эВ,  $A^{**} = 2.74$  А · см $^{-2}$  · К $^{-2}$ ; 2 –  $\Delta_a = 0.47$  эВ,  $A^{**} = 0.76$  А · см $^{-2}$  · К $^{-2}$ ; 3 –  $\Delta_a = 0.27$  эВ,  $A^{**} = 0.012$  А · см $^{-2}$  · К $^{-2}$ . Для случая 4 можно получить грубую оценку:  $\Delta_a \leq 0.05$  эВ. Все значения  $\Delta_a$  отмечены на рис. 2, а. Можно убедиться, что полученные значения близки к расчету по формуле (2), а величина  $\Delta_{\text{eff}}$  всегда больше  $\Delta$  из-за принятого завы-

шенного значения  $A^*$  в (24). Поэтому при обработке экспериментальных данных для диодов с пониженной высотой барьера [12,13] верные представления о ходе края зоны проводимости вблизи контакта можно получить лишь на основе анализа измеренных температурных зависимостей с помощью приведенных выше выражений для тока.

## 7. Заключение

Получены аналитические выражения для тока термополевой эмиссии в контактах МП с приповерхностным изотипным  $\delta$ -легированием. Туннелирование описывается в рамках подхода Мерфи и Гуда с учетом снижения высоты барьера за счет сил изображения. Показано, что вследствие приповерхностного изотипного  $\delta$ -легирования возможно уменьшение эффективной высоты барьера от исходных значений до единиц  $kT$ . При этом зависимость тока от напряжения может сохранять экспоненциальный характер со сравнительно небольшим возрастанием фактора неидеальности ВАХ  $n \leq 1.07$ , т.е. характерное напряжение нелинейности ВАХ таких контактов сравнимо с величиной  $kT/e$ . Вместе с тем резкое возрастание фактора неидеальности до  $n \geq 1.5$  предсказано для контактов с не полностью обедненным  $\delta$ -слоем. Выражения для ВАХ существенно отличаются от классических результатов по термополевой эмиссии в контактах металл–(сильно легированный полупроводник), полученных в работе [3] (см. также [1,2,4]). Именно поэтому известные попытки [16] использовать формулы [3] для обработки экспериментальных данных туннельных контактов МП с  $\delta$ -легированием были малопродуктивными. Напротив, полученные выражения дают хорошее согласие с численными расчетами и экспериментом [8] и обеспечивают эффективную диагностику контактов из температурных измерений ВАХ.

Работа выполнена при поддержке грантом РФФИ № 01-02-16451, а также МНТП „Физика твердотельных наноструктур“.

## Список литературы

- [1] E.H. Phoderick, R.H. Williams. *Metal–Semiconductor Contacts* (Claredon Press, Oxford, 1988).
- [2] С. Зи. *Физика полупроводниковых приборов* (М., Мир, 1984) ч. 1.
- [3] F.A. Radovani, R. Stratton. *Sol. St. Electron.*, **9**, 695 (1966).
- [4] *Туннельные явления в твердых телах* (М., Мир, 1973). [Пер. с англ.: *Tunneling Phenomena in Solids*, ed. by E. Burstein, S. Lundqvist (N. Y., Plenum Press, 1969)].
- [5] E.F. Schubert, J.E. Cunningham, W.T. Tsang, T.H. Chiu. *Appl. Phys. Lett.*, **49**, 292 (1986).
- [6] M. Missous, T. Taskin. *Semicond. Sci. Technol.*, **8**, 1848 (1993).
- [7] В.И. Шашкин, А.В. Мурель, Ю.Н. Дроздов, В.М. Данильцев, О.И. Хрыкин. *Микроэлектроника*, **26**, 57 (1997).
- [8] В.И. Шашкин, А.В. Мурель, В.М. Данильцев, О.И. Хрыкин. *ФТП*, **36**, 537 (2002).
- [9] S.G. Miller, R.G. Good. *Phys. Rev.*, **91**, 174 (1953).
- [10] E.L. Murphy, R.H. Good. *Phys. Rev.*, **102**, 1464 (1956).
- [11] S.G. Christov. *Surf. Sci.*, **70**, 32 (1978).
- [12] V.I. Shashkin, V.M. Daniltsev, O.I. Khrykin, A.V. Murel, Yu.I. Chechenin, A.V. Shabanov. *Proc. Int. Semicon. Dev. Res. Symp. (ISDRS 1997)* (Charlottseville, USA, 1997) p. 147.
- [13] V. Shashkin, Yu. Chechenin, V. Danil'tsev, O. Khrykin, A. Maslovsky, A. Murel, V. Vaks. *Proc 23rd Int. Conf. Microelectronics (MIEL 2002)* (Nis, Yugoslavia, 2002) p. 335.
- [14] А. Модинос. *Авто-, термо- и вторично-электронная эмиссионная спектроскопия* (М., Наука, 1990).
- [15] А.П. Прудников, Ю.А. Брычков, О.И. Маричев. *Интегралы и ряды* (М., Наука, 1981).
- [16] J.M. Geraldo, W.N. Rodrigues, G. Medeiros-Ribeiro, A.G. de Oliveira. *J. Appl. Phys.*, **73**, 820 (1993).

Редактор Л.В. Шаронова

## The theory of tunnel current in metal–semiconductor contacts with a sub-surface isotype $\delta$ -doping

V.I. Shashkin, A.V. Murel

Institute for Physics of Microstructures,  
Russian Academy of Sciences,  
603950 Nizhny Novgorod, Russia

**Abstract** A theory of the tunnel current in metal–semiconductor (MS) contacts with the sub-surface isotype  $\delta$ -doping has been developed. Analytical expressions for the current have been obtained using the Murphy–Good approach and taking into account the image forces lowering the potential barrier. Parameters of  $\delta$ -doping which ensure the effective thermal field emission in the MS contact and reduce the effective height of the barrier from its original values to several  $kT$ , have been calculated. The current-voltage dependence of a MS contact with isotype  $\delta$ -doping has been found to be in the main exponential. It has been shown that the nonideality factor can be kept small: as low as  $n \leq 1.07$  for all values of the barrier height. A dramatic increase of  $n$  up to 1.5 is typical for contacts with a partially depleted  $\delta$ -layer.